

Я. Ф. Лелеко, член-корреспондент НАН Украины К. Н. Степанов

## Ионно-звуковые колебания в сильнонеизотермической слабоионизированной неоднородной водородной плазме

*Отримано стаціонарний розподіл параметрів сильнонеізотермічної слабоіонізованої водневої плазми у гідродинамічному наближенні в області квазінейтральності та у перехідному шарі між діелектриком та плазмою з урахуванням ефектів іонізації, перезарядження, дифузії, в'язкості та самоузгодженого електричного поля. Визначено функцію розподілу іонів за швидкостями за отриманим розподілом потенціалу самоузгодженого поля. Знайдено залежності частоти та декременту затухання іонно-звукових коливань від хвильового вектора, що пов'язаний з зіткненнями частинок у плазмі, з одержаними параметрами у локальному наближенні.*

1. В настоящей работе исследованы распространение и поглощение объемных ионно-звуковых колебаний в сильнонеизотермической слабоионизированной водородной плазме в локальном приближении. Расчет равновесных параметров плазмы проведен в гидродинамическом приближении с учетом эффектов ионизации, перезарядки, диффузии, вязкости и самосогласованного электрического поля, определяющего появление переходного (дебаевского) слоя на границе плазмы вследствие более быстрого ухода электронов на стенку.

В работах [1, 2] подобная задача решалась в кинетическом приближении и с помощью вероятностного подхода. Из кинетического уравнения получена функция распределения ионов по скоростям с помощью найденного распределения потенциала самосогласованного поля. В заключительной части работы найдены зависимости реальной и мнимой частей частоты объемных ионно-звуковых колебаний как функции волнового вектора в локальном приближении для полученных равновесных параметров плазмы.

2. По аналогии с теориями Шоттки [3] и Ленгмюра–Тонкса [4] предполагалось, что плазма сосредоточена в области  $-L \leq x \leq L$ , однородна по осям  $y, z$  и состоит из атомов и ионов атомарного водорода и электронов. Температуры частиц плазмы и плотность атомов водорода не зависят от координат. Ионизация осуществляется прямым электронным ударом, а рекомбинация — на стенке. Распределение потенциала в плазме монотонно. Области  $x \geq L$  и  $x \leq -L$  заполнены диэлектриком. При выполнении этих условий для стационарного случая газодинамические уравнения движения и непрерывности для ионов и электронов, соответственно, и уравнение Пуассона имеют следующий вид:

$$\frac{1}{2}(v_i^2)' = -\frac{e}{m_i} \varphi' - \nu_i v_i - \frac{T_i}{m_i} \frac{n_i'}{n_i}, \quad (1)$$

$$(n_i v_i)' = \alpha n_e, \quad (2)$$

$$\frac{1}{2}(v_e^2)' = \frac{e}{m_e} \varphi' - \nu_e v_e - \frac{T_e}{m_e} \frac{n_e'}{n_e}, \quad (3)$$

$$(n_e v_e)' = \alpha n_e, \quad (4)$$

$$\varphi'' = 4\pi e(n_e - n_i), \quad (5)$$

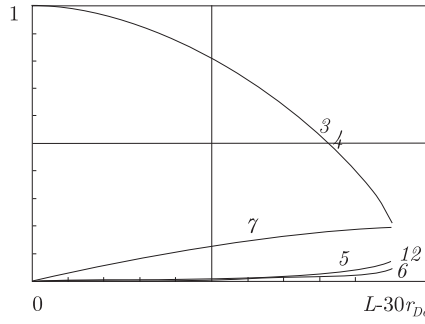


Рис. 1

где  $v$ ,  $n$ ,  $T$ ,  $m$ ,  $\nu$  — гидродинамическая скорость, плотность, температура, масса, эффективная частота столкновений ионов или электронов согласно нижним индексам;  $e$  — элементарный заряд;  $\varphi$  — потенциал самосогласованного поля;  $\alpha$  — частота ионизации, штрихом обозначена производная по  $x$ .

Выбраны следующие значения граничных условий при  $x = 0$  и постоянных параметров плазмы:  $v_i(0) = v_e(0) = 0$ ,  $\varphi(0) = 0$ ,  $\varphi'(0) = 0$ ,  $n_i(0) = n_e(0) = N_0 = 10^{12} \text{ см}^{-3}$ ,  $n_n = 10^{15} \text{ см}^{-3}$ ,  $T_e = 2 \text{ эВ}$ ,  $T_i = T_n = 0,05 \cdot T_e = 0,1 \text{ эВ}$ , где  $n_n$  и  $T_n$  — плотность и температура нейтральных атомов водорода. Граничное условие в точке контакта плазмы со стенкой определим из условия равенства гидродинамического потока ионов (или электронов) и потока электронов из уравнения стандартной теории тока на зонд [5] (при отсутствии эффектов отражения и эмиссии электронов со стенки):

$$\Gamma_i(L) = n_i(L)v_i(L) = \frac{1}{4}N_0\sqrt{\frac{8T_e}{\pi m_e}} \exp\left(\frac{e\varphi L}{T_e}\right).$$

Частоты ионизации и столкновений рассчитаны с помощью соотношений:  $\alpha = \overline{\sigma_i v_e} n_n$ ,  $\nu_i = \nu_{ex} + \alpha$ ,  $\nu_e = \nu_{en}$ ;  $\nu_{ex} = \sigma_{ex} n_n v_{Ti}$ ,  $\nu_{en} = \sigma_{en} n_n v_{Te}$ , где  $\nu_{ex}$ ,  $\sigma_{ex}$  — частота и сечение перезарядки ионов на атомах водорода;  $\nu_{en}$ ,  $\sigma_{en}$  — частота и сечение упругих столкновений электронов и атомов водорода;  $v_{Ti} = \sqrt{T_i/m_i}$ ,  $v_{Te} = \sqrt{T_e/m_e}$  — тепловые скорости электронов и ионов, соответственно. Для величин  $\sigma_{ex}$  и  $\sigma_{en}$  были взяты табличные значения для соответствующих температур. Усредненное произведение сечения ионизации на скорость налетающих электронов для малых значений  $T_e$  рассчитано с помощью интерполяционной формулы:

$$\overline{\sigma_i v_e} = 9,8 \cdot 10^{-8} \frac{\sqrt{x(x+1)}}{x+0,73} \exp(-x) \text{ см}^{-1} \text{ с}^{-1}, \quad x = \frac{13,6}{T_e}.$$

Для плазмы с указанными выше параметрами частота ионизации, эффективные частоты столкновений и тепловые скорости ионов и электронов, соответственно, принимают следующие значения:  $\alpha = 1,05 \cdot 10^5 \text{ с}^{-1}$ ,  $\nu_i = 2,18 \cdot 10^6 \text{ с}^{-1}$ ,  $\nu_e = 2,55 \cdot 10^8 \text{ с}^{-1}$ ,  $v_{Ti} = 3,09 \cdot 10^5 \text{ см/с}$ ,  $v_{Te} = 5,93 \cdot 10^7 \text{ см/с}$ . Численное решение системы уравнений (1)–(5) с заданными выше граничными условиями представлено на рис. 1 и 2. Цифрами обозначены зависимости от  $x/r_D$  следующих величин: 1 —  $v_i/(20v_s)$ ; 2 —  $v_e/(20v_s)$ ; 3 —  $n_i/N_0$ ; 4 —  $n_e/N_0$ ; 5 —  $(-e\varphi)/(20T_e)$ ; 6 —  $(r_{De}e\varphi')/(2T_e)$ ; 7 —  $\Gamma_i/(N_0v_s)$ , где  $r_{De} = \sqrt{T_e/(4\pi e^2 N_0)} = 1,05 \cdot 10^{-3} \text{ см}$  — радиус Дебая–Хюккеля;  $v_s = \sqrt{T_e/m_i} = 1,38 \cdot 10^6 \text{ см/с}$  — скорость ионного звука. Полуширина плазмы  $L = 3322,24r_{De} = 3,49 \text{ см}$ . На рис. 1 показано пространственное распределение параметров плазмы в области  $0 \leq x \leq L - 30r_{De}$ , а на рис. 2 — в переходном слое шириной

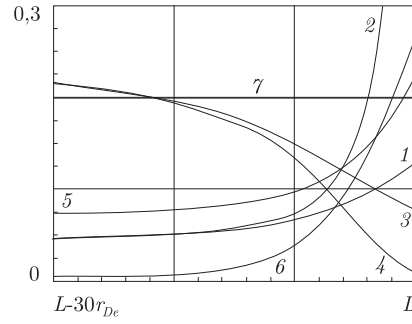


Рис. 2

$30r_{De}$  на границе раздела диэлектрик — плазма. Интегрирование системы уравнений (1)–(5) вблизи точки  $v_i = v_s$  производится с помощью условия квазинейтральности  $n_i = n_e$  вместо уравнения (5), что позволяет избавиться от сингулярности. При учете в правых частях уравнений (1) и (3) членов, описывающих вязкость, сингулярность в точке  $v_i = v_s$  не наблюдается.

**3.** Предположим, что атомы водорода имеют максвелловское распределение по скоростям. Тогда для нахождения стационарной функции распределения ионов по скоростям  $f$  воспользуемся кинетическим уравнением [2]

$$v_x f' = (\nu n_{ix} + \alpha n_{hex}) f_{0x} - \nu f, \quad (6)$$

где  $f = f(x, \varepsilon)$ ;  $\varepsilon = m_i v_x^2 / 2 + e\varphi_x$  — энергия ионов;  $v_x = \sqrt{2(\varepsilon - e\varphi_x) / m_i}$  — скорость ионов;  $\nu = \nu_{ex}$ ;  $f_{0x} = 1 / (\sqrt{2\pi} v_{Ti}) \exp(-v_x^2 / (2v_{Ti}^2))$ . Нижний индекс  $x$  в этом разделе означает принадлежность к точке с координатой  $x$ . Первый член в правой части уравнения (6) описывает увеличение числа ионов за счет перезарядки и ионизации соответственно, второй — их уменьшение за счет перезарядки. Скорости ионов в момент рождения в результате перезарядки или ионизации имеют максвелловское распределение по скоростям с температурой нейтральных атомов водорода. В качестве граничного условия для (6) в случае, когда все налетающие ионы поглощаются (рекомбинируют) на стенке, будем считать, что ионы, летящие от стенки, отсутствуют. Тогда решение уравнения (6) для ионов, летящих от стенки ( $v_x < 0$ ) и в противоположном направлении ( $v_x > 0$ ), имеют, соответственно, следующий вид:

$$f_{x,v_x}^- = \frac{\nu}{\nu + \alpha} \int_x^L d\xi \frac{\nu n_{i\xi} + \alpha n_{e\xi}}{v_\xi} f_{0\xi} \exp\left(-\int_x^\xi \frac{d\zeta}{v_\zeta}\right), \quad (7)$$

$$f_{x,v_x}^+ = f_{x_t,v_{x_t}} \exp\left(-\int_{x_t}^x \frac{d\zeta}{v_\zeta}\right) + \frac{\nu}{\nu + \alpha} \int_{x_t}^x d\xi \frac{\nu n_{i\xi} + \alpha n_{e\xi}}{v_\xi} f_{0\xi} \exp\left(-\int_\xi^x \frac{d\zeta}{v_\zeta}\right), \quad (8)$$

где

$$v_\xi = \sqrt{v_x^2 + \frac{2e(\varphi_x - \varphi_\xi)}{m_i}}, \quad f_{x_t,v_{x_t}} = \int_{x_t}^L d\xi \frac{\nu n_{i\xi} + \alpha n_{e\xi}}{v_\xi} f_{0\xi} \exp\left(-\int_{x_t}^\xi \frac{d\zeta}{v_\zeta}\right).$$

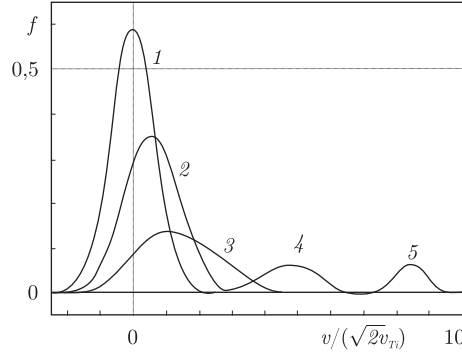


Рис. 3

Для частиц, энергия которых  $\varepsilon < 0$ ,  $x_t$  — точка поворота и, следовательно,  $v_{x_t} = 0$  и  $\varepsilon = e\varphi_{x_t}$ , для частиц с положительной энергией  $\varepsilon \geq 0$ ,  $x_t = 0$ . Распределение по скоростям в середине плазмы  $f_{x=0, v_x}^- = f_{x=0, v_x}^+$  вследствие симметрии плазмы. Подставляя в (7) и (8) полученные при гидродинамическом рассмотрении зависимости  $n_i(x)$  и  $\varphi(x)$ , находим распределение ионов по скоростям  $f(v_i/(\sqrt{2}v_{Ti}))$  для различных значений  $x/r_D$ , которое представлено на рис. 3. Зависимость 1 соответствует  $x = 0$ ; 2 —  $x = 2000r_D$ ; 3 —  $x = 3000r_D$ ; 4 —  $x = L - 10r_D$ ; 5 —  $x = L$ .

Было произведено сравнение распределения плотности ионов, полученное при гидродинамическом рассмотрении и при интегрировании функции распределения ионов (7), (8) по всему пространству скоростей. Различие между результатами в области  $(L - 30r_{De} \leq x \leq L)$  составляет  $\leq 10\%$ . Применение гидродинамики в данной области не совсем корректно из-за очень редких столкновений. Однако в этой узкой области, где равновесные параметры плазмы изменяются существенно под действием сильного согласованного электрического поля, вызванного разделением зарядов, диссипативные члены в уравнениях (1)–(4), полученные из кинетических уравнений в гидродинамическом приближении, малы и ими можно пренебрегать. В глубине плазмы различие между результатами не превышает 1%. Такой сравнительный анализ позволяет говорить о хорошем соответствии сравниваемых приближений.

4. В рассмотренной выше сильнонеизотермической плазме ( $T_i \ll T_e$ ) возможно возникновение ионно-звуковых колебаний.

Будем считать, что все переменные, которые описывают колебания, малы по сравнению со стационарными равновесными величинами и изменяются в локальном приближении как  $\exp\left[i\left(\int_0^x k_x(\xi)d\xi + k_y y - \omega t\right)\right]$ , где  $\omega$  — частота;  $k_x$  и  $k_y$  — компоненты волнового вектора.

Для описания движения электронов и ионов воспользуемся совместно с уравнением Пуассона линеаризованной системой гидродинамических уравнений, справедливых при  $\text{Re}\omega \gg \text{Im}\omega$  и для редких соударений, приводящих к появлению затухания  $\text{Im}\omega$ , определяемого диссипативными слагаемыми с точностью до коэффициентов порядка единицы:

$$(-i\omega_1 + v'_{0i})n_i + (ik_x n_{0i} + n'_{0i})v_{ix} + ik_y n_{0i} v_{iy} = \alpha n_e, \quad (9)$$

$$(-i\omega_1 + \nu_i + v'_{0i} + \eta_i k_x^2)v_{ix} = -ik_x \frac{e}{m_i} \varphi - \frac{ik_x n_{0i} - n'_{0i}}{n_{0i}^2} v_{Ti}^2 n_i, \quad (10)$$

$$(-i\omega_1 + \nu_i + \eta_i k_y^2)v_{iy} = -ik_y \left( \frac{e}{m_i} \varphi + \frac{v_{Ti}^2}{n_{0i}} n_i \right), \quad (11)$$

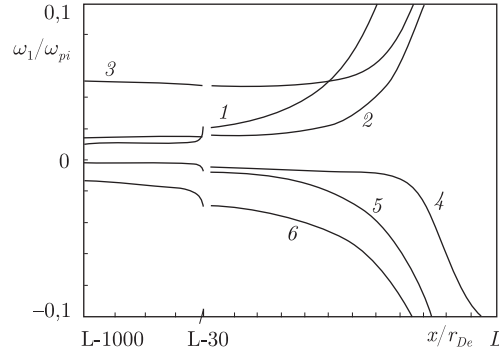


Рис. 4

$$(-i\omega_2 + v'_{0e})n_e + (ik_x n_{0e} + n'_{0e})v_{ex} + ik_y n_{0e} v_{ey} = \alpha n_e, \quad (12)$$

$$(-i\omega_2 + \nu_e + v'_{0e} + \eta_e k_x^2)v_{ex} = ik_x \frac{e}{m_e} \varphi - \frac{ik_x n_{0e} - n'_{0e}}{n_{0e}^2} v_{Te}^2 n_e, \quad (13)$$

$$(-i\omega_2 + \nu_e + \eta_e k_y^2)v_{ey} = ik_y \left( \frac{e}{m_e} \varphi - \frac{v_{Te}^2}{n_{0e}} n_e \right), \quad (14)$$

$$-k^2 \varphi = 4\pi e(n_e - n_i), \quad (15)$$

где  $\omega_{1,2} = \omega - k_x v_{0i,e}$ ;  $k = \sqrt{k_x^2 + k_y^2}$ ;  $\eta_i = v_{Ti}^2 / (\nu_{ci} + \nu_{ex})$ ;  $\eta_e = v_{Te}^2 / (2\nu_{ce} + \nu_{en})$ ;  $\nu_{ci,e} = \sigma_{ci,e} N_0 \nu_{Ti,e}$ ;  $\sigma_{ci,e} = \pi(e^2 / T_{i,e})^2 L_{i,e}$ ;  $L_i = \ln(\sqrt{T_i^3 / (4\pi e^6 n_{0i})})$ ;  $L_e = \ln(T_e \sqrt{T_i / (4\pi e^6 n_{0i})})$ ;  $\eta_{i,e}$ ;  $\nu_{ci,e}$ ;  $\sigma_{ci,e}$ ;  $L_{i,e}$  — коэффициент вязкости, частота и сечение кулоновских столкновений, кулоновский логарифм ионов и электронов соответственно. Индекс 0 показывает принадлежность гидродинамической скорости и плотности к равновесному состоянию. Для данных параметров плазмы  $\eta_i = 7,69 \cdot 10^3$  см<sup>2</sup>/с,  $\eta_e = 1,3 \cdot 10^7$  см<sup>2</sup>/с,  $\nu_{ci} = 1,02 \cdot 10^7$  с<sup>-1</sup>,  $\nu_{ce} = 1,56 \cdot 10^7$  с<sup>-1</sup>. В левых частях уравнений (10), (13) и (15) пренебрегается членами  $ik'_x \eta_i v_{ix}$ ,  $ik'_x \eta_e v_{ex}$  и  $ik'_x \varphi$  по сравнению с  $k^2 \eta_i v_{ix}$ ,  $k^2 \eta_e v_{ex}$  и  $k^2 \varphi$  в соответствии с локальным приближением.

Систему уравнений (9)–(15) можно преобразовать в дисперсионное уравнение 6-й степени относительно  $\omega$ , два корня которого близки к бесстолкновительным ионно-звуковым колебаниям. Численное решение этого уравнения в области плазмы, граничащей с диэлектриком, размером  $1000r_D$  показано на рис. 4 для случая  $k_y r_{De} = 0,01$ ,  $\text{Re } \omega_1 > 0$ . Цифрами 1, 2, 3 обозначены реальные части  $\omega_1$ , а цифрами 4, 5, 6 — мнимые для случаев  $k_x \ll k_y$ ,  $k_x r_{De} = 0,01$  и  $0,05$  соответственно. Графики представлены в двух масштабах. Это связано с тем, что в области квазинейтральности ( $x \leq L - 30r_{De}$ ) значения частот изменяются слабо в отличие от переходного слоя ( $L - 30r_{De} \leq x \leq L$ ), в котором существенно меняются равновесные параметры плазмы.

В области квазинейтральности можно получить приближенные выражения для реальной и мнимой частей решения дисперсионного уравнения, соответствующего положительному значению  $\omega_1$ , для различных значений  $k_x r_{De}$ .

Для  $k_x \ll k_y$   $k r_{De} = 0,01$

$$\omega_{1Re} = kv_s \sqrt{1 + \frac{T_i}{T_e} + \frac{1}{k^2} \left( \frac{n'_{i0}}{n_{i0}} \right)^2 \left( \frac{\eta_e k^2}{\nu_e} + 1 \right)}, \quad (16)$$

$$\omega_{Im} = -\frac{\nu_i}{2} - \frac{\eta_i k^2}{2} - \frac{m_e \eta_e k^2}{m_i} \frac{1}{2} - \frac{v'_{i0}}{2} - \frac{m_e \nu_e}{m_i} \frac{1}{2} + \frac{\alpha}{2} + \frac{\eta_e k^2 v_s^2}{2\nu_e^2} \left( \frac{n'_{i0}}{n_{i0}} \right)^2. \quad (17)$$

Для  $k_x r_{De} = 0,01$   $kr_{De} = \sqrt{2} \cdot 0,01$

$$\omega_{1Re} = kv_s + \frac{T_i}{T_e} \frac{kv_s}{2} + \frac{v_s}{2k} \left( \frac{n'_{i0}}{n_{i0}} \right)^2 - \frac{v_{i0}}{4\sqrt{2}k} \frac{n'_{i0}}{n_{i0}} - \frac{6v_{i0}^2}{15kv_s} + \frac{m_e \eta_e k}{m_i} \frac{n'_{i0}}{2\sqrt{2}n_{i0}}, \quad (18)$$

$$\omega_{Im} = -\frac{\nu_i}{2} - \frac{\eta_i k^2}{2} - \frac{m_e \eta_e k^2}{m_i} \frac{1}{4} - \frac{3v'_{i0}}{4} - \frac{m_e \nu_e}{m_i} \frac{1}{2} + \frac{\alpha}{2}. \quad (19)$$

Для  $k_x r_{De} = 0,05$   $kr_{De} = \sqrt{26} \cdot 0,01$

$$\omega_{1Re} = kv_s + \frac{T_i}{T_e} \frac{kv_s}{2} - \frac{3\eta_i^2 k^3}{25v_s} - \frac{m_e}{m_i} \frac{3\eta_i \eta_e k^3}{25v_s} - \frac{3\eta_i k}{25} \left( \frac{n'_{i0}}{n_{i0}} \right) - \frac{m_e \eta_e k v'_{i0}}{m_i} \frac{1}{4v_s}, \quad (20)$$

$$\omega_{Im} = -\frac{\nu_i}{2} - \frac{313\eta_i k^2}{676} - \frac{m_e \eta_e k^2}{m_i} \frac{1}{4} - \frac{25v'_{i0}}{26} - \frac{v_s}{2} \left( \frac{n'_{i0}}{n_{i0}} \right) - \frac{m_e}{m_i} \frac{17\nu_e}{5}. \quad (21)$$

Ошибка в выражениях (16)–(21) не превышает 1–3% от точного решения дисперсионного уравнения. Вдали от переходного слоя ( $x = (L - 1000)r_{De}$ ) в формулах для реальной части частоты (16), (18), (20) главным является слагаемое, определяющее частоту длинноволновых ионно-звуковых колебаний в бесстолкновительной плазме с учетом малого вклада холодных ионов, вклад остальных членов в этой области не превышает 2–4%. Однако на границе переходного слоя ( $x = (L - 30)r_{De}$ ) вклад членов  $\sim (n'_{i0}/n_{i0})^2$  в (16), (18) составляет  $\sim 70\%$ . В декремент затухания (17), (19), (21) как в глубине плазмы, так и на границе переходного слоя основной вклад вносят слагаемые, связанные с перезарядкой ионов, ионной вязкостью, электронной вязкостью за счет столкновений с нейтральными частицами и электронами, как и однородной плазме, и слагаемое, связанное с градиентом гидродинамической скорости ионов, обусловленного дрейфом ионного газа под действием самосогласованного электрического поля, вызванного разделением зарядов, причем вклад этого слагаемого при приближении к переходному слою возрастает с 2–10% до 23–72%. Слагаемые, связанные с ионизацией и столкновениями электронов с нейтралами, малы.

**5.** Из формул (16)–(21) видно, что в глубине плазмы частота ионно-звуковых колебаний слабо отличаются от  $\omega_s = kv_s$ , а затухание обусловлено эффектами, связанными с перезарядкой и вязкостью ионов и электронов. При приближении к переходному слою ( $x \lesssim (L - 30)r_{De}$ ) существенную роль в выражениях для реальной и мнимой частей решения системы (9)–(15) начинают играть члены, связанные с неоднородностью гидродинамической скорости и плотности ионного газа, обусловленные действием самосогласованного электрического поля. Однако в переходном слое гидродинамическое приближение для расчетов диссипативных членов неприменимо, так же, как и локальное приближение. В области, где сильно изменяются равновесные параметры плазмы, основную роль при распространении ионно-звуковой волны играет бесстолкновительное действие самосогласованного поля.

1. Морозов И. Н., Настоящий А. Ф. Условия вблизи границы плазма – стенка: кинетика ионов и распределение электрических потенциалов // Физика плазмы. – 1996. – **22**, № 7. – С. 659–667.
2. Двинин С. А., Довженко В. А., Кузовников А. А. К теории пристеночного слоя в плазме газового разряда // Там же. – 1999. – **25**, № 11. – С. 957–968.
3. Schottky W. Diffusionstheorie der positiven saule // Physikalische Zeitschrift. – 1924. – **25**. – P. 635–640.

4. *Langmuir I., Tonks L.* A general theory of the plasma of an arc // *Phys. Rev.* – 1929. – **34**. – P. 876–882.
5. *Каган Ю. М., Перель В. И.* Зондовые методы исследования плазмы // *Успехи физ. наук.* – 1963. – **81**, № 3. – С. 409–452.

Харьковский национальный университет  
им. В. Н. Каразина  
ННЦ “Харьковский физико-технический институт”  
НАН Украины

Поступило в редакцию 05.05.2010

**Ya. F. Leleko**, Corresponding Member of the NAS of Ukraine **K. N. Stepanov**

### **Ion-sound oscillations in strongly nonisothermic weakly ionized nonuniform hydrogen plasma**

*A stationary distribution of strongly nonisothermic weakly ionized hydrogen plasma parameters is obtained in the hydrodynamic approximation in a quasineutrality region in the transient layer between the plasma and a dielectric taking the ionization, charge exchange, diffusion, viscosity, and a self-consistent electric field into account. The ion velocity distribution function is determined with the help of the obtained self-consistent field potential distribution. The ion-sound oscillation frequency and the collisional damping decrement as functions of the wave vector in the plasma with the obtained parameters are found in the local approximation.*